ՀԱՅԱՍՏՄՆԻ ԳԻՏՈԻԹՅՈՒՆՆԵՐԻ ԱԶԳԱՅԻՆ ԱԿԱԴԵՄԻԱՅԻ ՏԵՂԵԿԱԳԻՐ

ИЗВЕСТИЯ НАЦИОНАЛЬНОЙ АКАДЕМИИ НАУК АРМЕНИИ

Մեխանիկա

48, N° 4, 1995

Механика

РАСПРЕДЕЛЕНИЕ ТРЕЩИНЫ УСТАЛОСТИ В УСЛОВИЯХ ВОЗДЕЙСТВИЯ ЭЛЕКТРОМАГНИТНОГО ПОЛЯ

Асанян Д.Д., Летунов В.И.

Կասանյան Դ.Ջ., Լետունով Վ.Ի.

Տոգնածական ձարի բաշխումը էլնկտրամագնիսական դաշտի ազգեցության պայմաններում

Վ.Ի. ասանյան Ղ.Ձ. Հետունով Վ.Ի.

Փորձնական ճանապարհով հեղազուրված է Էլէկրրական հոսանքի ազդեցությունը ճաքի դարածման արագության վրա, երք մարմինը ենթարկված է ցիկլիկ ծոման։ Որպես վորձարկվող նյութ վերգվում է մագնիսապես պիեդ պոդպարը, որի մակերեույթին կա կիսաէլիպրիկ ճաք։ Փորձերը ցույց են տալիս, որ ճաքի պարածման արագությունը, ցիկլիկ ծովող մարմնում, էսպես կախված է մարմնով անցնող հոսանքի խտությունից։ Դիւրարկված է փոփոխական եւ հաստագուծ հոսանքների դեպքերը։

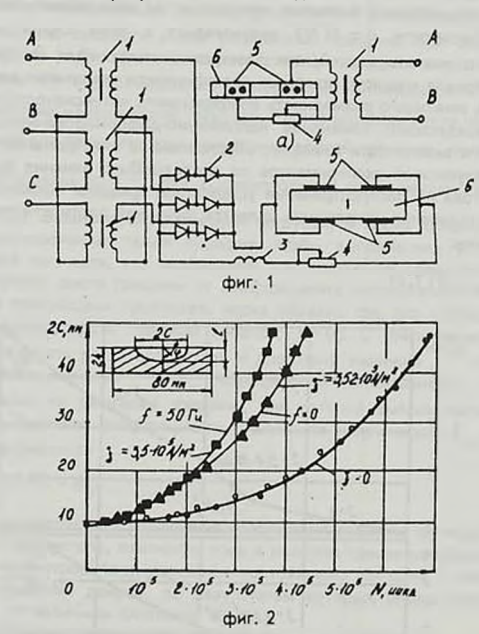
Hasanian D. J., Letunov V. 1.

Distribution of Fatique Craked under Electromagnetic Field.

Зкспериментально исследовано влияние прямого пропускания электрического тока на скорость роста трещины в циклически изгибаемом образце. В качестве материала были выбраны конструкционные инаколегированные магнитожесткие стали, на поверхности которых меется полуплиятическая трещина. Эксперименты показывают, что скорость роста трещины, в циклически изгибаемом образце, существенно зависит от плотности тока, которое пропускается через обравце. Рассматривались случам постоянного и первеменного тока. Различные теоретические вопросы поведения ферромагнитных тел, в электромагнитных полях рассмотрены в работах [1-4]. В частности,[3-4] посвящены исследованию апряженно-деформированному состоянию ферромагнитных тел с трещиной, при
наличим одмородного магнитного поля,

В работе рассматриваются вопросы влияния прямого пропускания тока на скорость роста трещины в циклически изгибаемом образце. В качестве материала были выбраны конструкционные ниэколегированные магнитожесткие стали 0912 и 12ГН2МФАЮ.Объектом исследования являлась поверхностная полуэллиптическая трещина фиг.2. Испытания проводились в режиме заданного прогиба образца с частотой нагружения 20 гц. Через циклически изгибаемый образец пропускали постоянный и переменный ток, при этом вектор плотности тока был параллелен плоскости трещины. Частота переменного тока составляла 50 гц. В качестве источника тока использовался понижающий грансформатор ОСУ-20. Принципиальная схема подвода тока к образцу представлена на фиг.1;1а-схема подвода переменного тока; на фиг.16 - постоянного тока. От понижающего трансформатора 1 (фиг.1-а), ток через балластное сопротивление 4 и подводящие клема 5 подавался на образец 6.

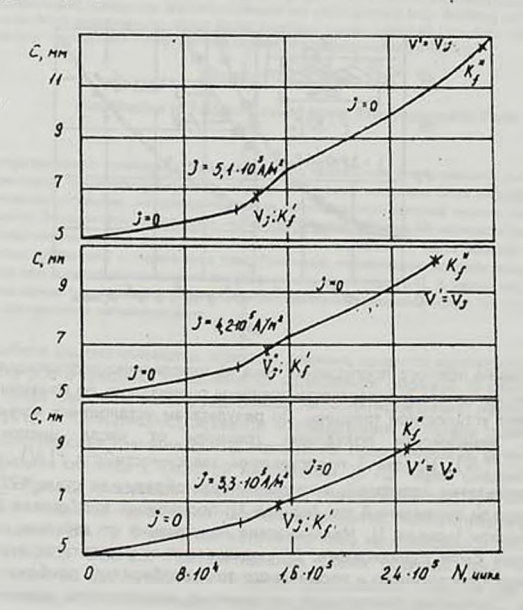
Трещина находилась между симметрично расположенными клемами. Величина переменного тока в процессе испытаний варьировалась от 250A до 1500A. Для получения постоянного тока использовалась схема двух полупериодного выпрямления фиг.16. Пульсации тока устранялись с помощью дросселя 3. Применение данной схемы позволило пропускать через образец постоянный ток, пульсации которого не превышали 3%. Величина постоянного тока в процессе испытания варьировалась от 500A до 1500A.



Влияние прямого пропускания тока на напряженно-деформированное состояние материала в окрестности трещины оценивалось по изменению скорости роста усталостной трещины. По результатам усталостных ислытаний строциклов ились зависимости полудлины трещины οт числа нияc=f(N). На фиг.2 представлены зависимости2c=f(N), полученные по результатам испытаний, в которых через образцы из стали 12ГН2МАФАЮ пропускали переменный ток (кривая 1); постоянный ток (кривая 2), и ток не пропускали (кривая 3). Механические напряжения от действия циклической нагрузки были одинаковыми. В представленных результатах экспериментов плотности постоянного и переменного тока подбирались приблизительно равными. Влиянием сжимающего напряжения, вызываемого термическим расши- рением материала вблизи вершины трещины, вследствие выделения джоулевого тепла, пренебрегали [5].

Сравнительный анализ зависимостей 2c = f(N), приведенных на фиг.2. показывает, что прямое пропускание как постоянного, так и переменного тока приводит к существенному увеличению скорости усталостной трещины, Аналогичное влияние прямого пропускания переменного тока наблюдалось для стали 0912. На фиг.3 представлены результаты усталостного развития трещины в условиях, когда первоначально трещина развивалась в отсутствии тока, а по достижении трещиной определенных размеров через образец пропускался ток, который оказывал влияние на ее дальнейшее развитие, Как видно, зависимость c = f(N) претерпевает в этом случае излом, Количественно оценить воздействие электромагнитного поля на трещиностойкость материала можно с помощью козффициента увеличения напряжений параметра, имеющего размерность коэффициента интенсивности напряжений и характеризующего изменение напряженно-деформированного состояния материала в окрестности трещины, обусловленное электромагнитным полем. Анализ результатов экспериментов по исследованию влияния прямого пропускания тока на распространение усталостной трещины показал, что коэффициент увеличения напряжения является функцией плотности тока и размеров трещины:





фиг. 3

Зависимость коэффициента увеличения напряжений от параметров плотности тока ј и полудлины поверхностной полузллиптической трещины С определилась экспериментально, при этом исходили из того, что если поля напряжений у трещины одинаковы, то есть если одинаковы козффициенты интенсивности напряжений, то механическое поведение трещин будет одинаковым, а скорости распространения трешины равными. Процедуру определения коэффициента увеличения напряжений можно проиллюстрировать с помощью зависимостей, приведенных на фиг.3. Через циклически изгибаемый образец с развивающейся трещиной (участок f=0 зависимости c=f(N)пропускали ток, скорость роста усталостной трещины при этом возросла (участок $j \neq 0$). Для фиксированного размера трещины определялась скорость роста V_{i} и рассчитывался коэффициент интенсивности напряжений K_{ϵ}' от действия механической нагрузки. Расчет коэффициента интенсивности напряжений для точки контура полуэллиптической трещины, лежащей на поверхности образца ($\phi = \frac{\pi}{2}$, фиг.2) производился по формулам, приведенным в работе [6]. Величина механической нагрузки, а также трещины подбирались в экспериментах таким образом, чтобы выполнялись условия маломасштабной текучести, что необходимо для получения однозначной зависимости скорости роста трещины от коэффициента интенсивности напряжений [6]. Затем прекращали пропускать через образец ток, что приводило к снижению скорости роста трещины (участок j=0). С увеличением размеров трещины скорость роста возрастала и достигала значения ' при котором выполнялось равенство $'=V_*$. Коэффициент интенсивности напряжений рассчитывался по размерам трещины, для которой выполнялось равенство скоростей. Значение коэффициента увеличения напряжений $K_{\star, \star}$ определялось в виде разности

$$K_{2,m} = K_f'' - K_f' \tag{2}$$

Поскольку коэффициент увеличения напряжений является функцией двух независимых параметров, плотности тока и размера трещины, в экспериментах один из параметров поддерживался постоянным. На фиг. 3 представлены экспериментальные данные, по результатам которых определялась зависимость $K_{\mathsf{S},\mathsf{M}}$ от величины плотности тока.

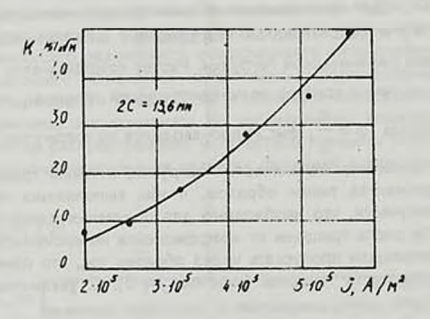
Для фиксированной полудлины трещины определялась скорость роста f, величина которой возрастала с увеличением плотности тока. Соответственно возрастало и значение $K_{\mathbf{5},\mathbf{8}}$. На фиг. 4 представлена экспериментально полученная зависимость $K_{\mathbf{3},\mathbf{8}}$ от плотности тока, являющаяся квадратичной зависимостью

$$K_{2,M} = A_1 j^2 \tag{3}$$

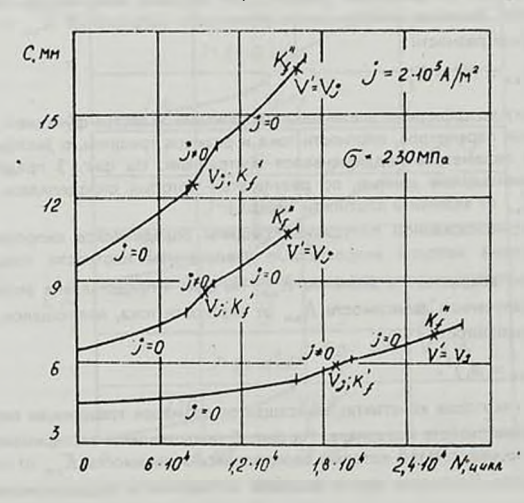
где A_1 - некоторая константа, зависящая от размеров трещины, ее геометрии и магнитных свойств материала. На фиг. 5 представлены экспериментальные данные, по результатам которых определялась зависимость $K_{\mathfrak{d},\mathfrak{u}}$ от полудлины трещины. Плотность тока в процессе эксперимента поддерживалась пос-

тоянной. Для различных размеров трещин в условиях пропускания тока определяли скорости роста трещины , (участок $f \neq 0$) и соответствующие значения коэффициентов интенсивности напряжений от действия механической нагрузки K_f . Действительное истинное значение коэффициента интенсивности напряжений, которое соответствовало скорости f представляет собой сумму

$$K_f = K_f' + K_{2,M} \tag{4}$$



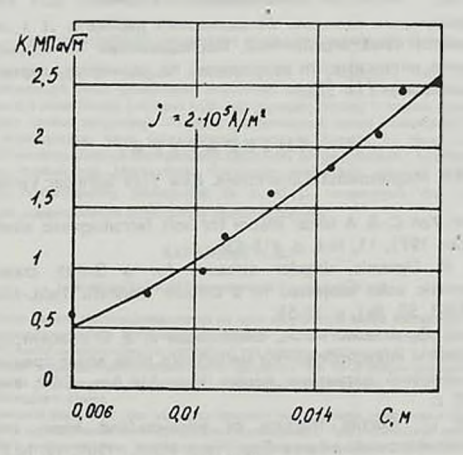
фиг. 4



фиг. 5

где $K_{_{3,\mathrm{M}}}$ - коэффициент увеличения напряжений. После прекращения пропускания через образец тока скорость роста трещины уменьшалась (участок j=0) и достигала прежней величины $_{j}$ при значительно больших размерах трещины. Коэффициент интенсивности напряжений $K_{_{3,\mathrm{M}}}$ рассчитывался по размерам трещины, для которой выполнялось равенство $_{_{3,\mathrm{M}}}'=V_{_{j}}$. Коэффициент увеличения напряжений определялся в виде разности (2). С увеличением размеров трещины увеличивался $K_{_{3,\mathrm{M}}}$. На фиг.6 представлена экспериментально полученная зависимость $K_{_{3,\mathrm{M}}}$ от полудлины трещины, являющаяся степенной зависимостью с показателем степени 3/2





фиг. 6

где A_2 - некоторая константа, зависящая от плотности тока, геометрии трещины и магнитных свойств материала.

В общем виде выражение для коэффициента увеличения напряжения может быть представлено

$$K_{_{3,M}} = A_3 j^2 c^{\frac{3}{2}} \tag{6}$$

Из соображения размерности константа A_3 должна содержать магнитную постоянную μ_0 и параметр, характеризующий линейный размер проводника ΔL . Это следует из того, что коэффициент увеличения напряжений является параметром, характеризующим изменение напряженно-деформированного состояния материала в окрестности трещины под воздействием электромогичтных сил, в основе которых лежит взаимодействие магнитного поля и электрического тока. Источником магнитного поля является ток, текущий по

проводнику. Магнитная индукция B, характеризующая поле в проводнике, связана с током посредством магнитной постоянной μ_0 / 4π в магнитное давление, имеющее размерность механического напряжения, зависит от линейных размеров проводника

$$\vec{P}_{m} = (\vec{j} \times \vec{B}) \Delta L \tag{7}$$

Окончательно выражение для $K_{s,s}$ может быть представлено в виде

$$K_{_{3M}} = A \frac{\mu_0}{4\pi} \mu_r \Delta L \hat{J}^2 c^{\frac{3}{2}}$$
 (8)

где A - безразмерный параметр, зависящий от геометрии полузллиптической трещины; μ_r - магнитная проницаемость материала; ΔL - длина образца между подводящими клемами. Безразмерный параметр A в экспериментах не определялся из-за ограничений, накладываемых на корректную оценку коэффициента интенсивности напряжений по параметру, характеризующему геометрию трещины I/c [7].

ЛИТЕРАТУРА

- 1. Brown W.F. Magnetoelastic interctions. New York Springer Verlag, 1966, p. 272.
- Pao Y.-H, Yeh C.-S. A linear theory for soft ferromagnetic elastic solid.- Int.
 J. Eng. Sci. 1973, 11, №4, p. 415-436.
- Shindo Y. Dynamic singular stresses for a Grifith craek in a soft ferromagnetic solid subjected to a uniform magnetic field.-ASME, J. Appl. Mech., 1983, 50, №1, p. 50-56.
- Асанян Д. Д., Аслонян А. А., Богдосарян Г. Е. О концентрациях упругих напряжений и индуцированного магнитного поля возле трещины, обусловленных внешним магнитным полем- Изв. АН Арм. ССР, Механика, 1988, т. 41, № 2, с.
- Yagawa G., Ductile fracture of edge-cracked beam under dynamic electromagnetic bending force.-Eng. Fraet. Mech., 1984, 19, №1, p. 23-34.
- Летунов В. М. Закономерности развития поверхностных трещин в низколегированной стали при асимметричном циклическом изгибе. Сообщение 1- Пробл. прочности. 1985, №11, с. 41-46.
- Летунов В. И. Определение КИН для полуэллиптических поверхностных трещин.- Пробл. прочности.- 1984, №4, с. 17-21.

Институт механики НАН Армении Поступила в редакцию 4.11.1992